# Pisa 粘土の三軸強度特性

防衛大学校 (正) 蛭﨑大介・市野宏嘉・正垣孝晴

#### 1. はじめに

Pisa 粘土の地盤工学的性質は多くの研究者によって検討されてきた $^{1),2)}$ 。著者らも倍圧サンプラー $^{3)}$ で採取した Pisa 粘土に対して一軸圧縮強度,圧密特性を試料の乱れの観点で検討してきた $^{4)}$ 。 Pisa 粘土の三軸強度特性が本稿で検討される。

### 2. 供試土と実験方法

Pisa の斜塔下には , 深さ  $z=(10\sim21)$ m に沖積 ,  $z=(29\sim40)$ m に洪積粘土が堆積している。これらの粘性土は粘土分が沖積で $(61\sim83)$ % ,洪積で $(46\sim64)$ %含まれることを反映して塑性指数  $I_p$  も ,それぞれ $(35\sim71)$  , $(19\sim50)$ と高い  $^4$ 。しかし , X 線回折の結果によると , Pisa 粘土は石英・斜長石・緑泥岩・雲母鉱物・石膏・赤鉄鉱等の造岩鉱物を主体とし , 粘土鉱物はほとんど含まれていなかった  $^4$ 。三軸強度特性は ,小型供試体を用いた小型精密三軸試験機  $^5$ を用いて検討する。

#### 3. 静止土圧係数の特性

図-1 は静止土圧係数  $K_0$ と  $I_n$ の関係である。ま た,表-1 に図-1 で用いたプロットの凡例を示す。 図-1 には $\sigma_{vo}$ の3倍以上の $\sigma_{a}$ の正規圧密領域で求 めた Pisa 粘土に加え, Bothkenner と我が国の 11 堆積地の粘土<sup>5)</sup>や Pusan new port 粘土<sup>6)</sup>に対する筆 者らの結果、Ladd らによる正規圧密領域の不撹乱  $\pm(\bigotimes)$ とその練返し $\pm(\bigoplus)$ ,さらに渋谷らが不撹乱 土に対して  $\sigma'_{vo}$  下で得た  $K_o$  値  $^{5)}$ をプロットしてい る。Alphan が Kenney の実験結果を整理して得た 回帰曲線 5)も図-1 に併せて示した。Pisa 粘土のプ ロットに対する回帰式(相関係数 r=0.76)を破線 で示しているが、Bothkenner と我が国の 11 堆積地 の粘土 5)のプロットの上部に位置し, 平均的には Alphan の回帰式の近傍に位置している。 In が大き くなると Ka 値が大きくなるのはいずれの回帰式 も同じである。

図-2 は、 $K_o$ と $(\sigma_a/\sigma_r)_{max}$ の応力で整理した有効内部摩擦角 の関係である。ここに, $\sigma_r$ は供試体の側方向有効応力である。表-2に図-2 の記号凡例をまとめた。図中には, $3\sigma_{vo}<\sigma_a$  の正規圧密領域下の  $\varepsilon_s$ =0.05%/min で得た Bothkenner,Kimhae 粘土と我が国の 11 堆積地の粘土 $^{51}$ や Pusan new port 粘土 $^{61}$ に対する筆者らの結果と,渋谷らが  $\sigma'_{vo}$  下で求めた値  $^{51}$ をプロットしている。また,Jaky,Brooker & Ireland,山内・安原が提案した式も併せて示している $^{51}$ 。 Kimhae、河北潟、水戸粘土については、 $\sigma'_{vo}$  の 1 と 2 倍の結果もプロットしている。Pisa 粘土のプロットに対する回帰式として  $K_o$ =0.735—0.006  $^{61}$ (r=0.91)を得た。Pisa 粘土は他の回帰式とは異なる傾きを有している。しかし、Pisa 粘土の練り返し土の $K_o$ 値は、他の土のそれらと同様に Brooker & Ireland の式や山内・安原の式の範囲でよく説明できる。



図-3 は CKoUC で得た  $c_u/p$  を  $I_p$  に対してプロットしている。ここ

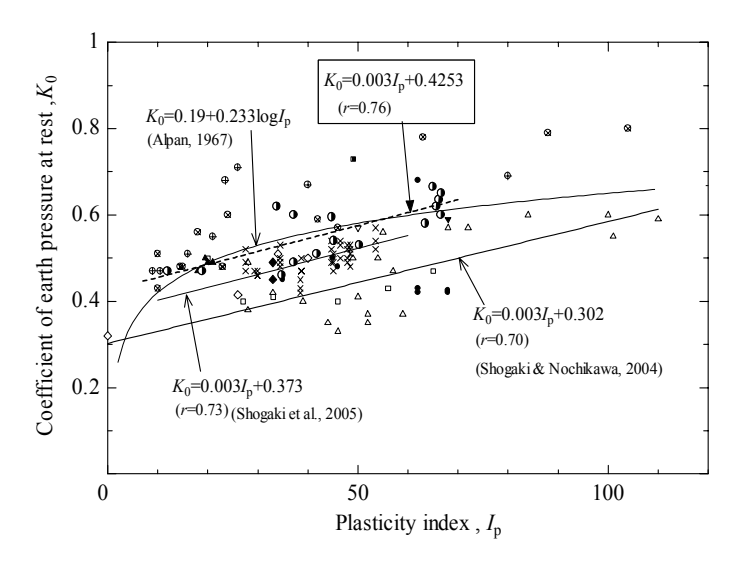


図 - 1 K<sub>o</sub>とI<sub>p</sub>の関係

表 - 1 図 - 1の記号凡例

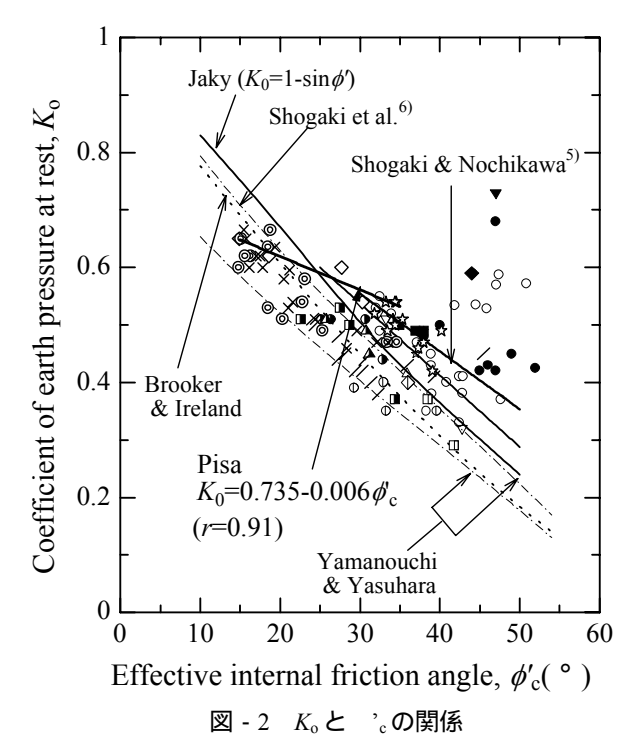
*	Soil	Reference		
•	Pisa	This paper's outher		
×	Pusan new port	Shogaki et al.6)		
$\otimes$	U.S.A. etc.			
	(Undisturb)	Ladd et al.		
$\oplus$	U.S.A. etc.			
Ψ	(Remold)			
	Japanese	Tsuchida		
	Japanese			
	Bothkennar	Shogaki & Nochikawa <sup>5)</sup>		
	Kimhae			
	Japanese			
	Drammen	Shibuya et al.		
	Louiseville			
	Bothkennar			
	Pusan			

\*:Symbol

で ,p は圧密圧力である。図-3 のプロットの凡例を表 - 3 に示す。ピサ粘土の  $c_{\rm u}/p$  は 0.21 ~ 0.42 の範囲にあり ,Bjerrum & Simons  $^{7}$  が示した範囲内にあるが ,  $I_{\rm p}$  70 でその下限域に位置する。 $I_{\rm p}$ >30 の領域では我が国の  $c_{\rm u}/p$  より小さく , 0.2 程度の値になる。 $c_{\rm u}/p$  が小さいのは、やはり造岩鉱物と低位構造に起因して、圧密圧力の増加に伴う  $c_{\rm u}$  の増加が大きくな

キーワード: Pisa 粘土, 三軸圧縮試験, 静止土圧係数, 内部摩擦角

連絡先 〒239-8686 神奈川県横須賀市走水 1-10-20 防衛大学校 建設環境工学科 TEL 046-841-3810



いことに起因していると推察している。

## 5. おわりに

Pisa 粘土は高塑性の粘性土であるが, $c_{\rm u}/p$  が小さく国内外の他の粘性土と異なる三軸強度特性が明らかになった。しかし,これらの原因の究明には更なる検討が必要である。

謝辞: Pisa への資材の運送や試料採取の実施,また, それらの調整等で強力なお骨折りを頂いた(独)港 湾空港研究所土質研究室と神戸大学の澁谷啓先生に 深甚の謝辞を表します。

### 参考文献:

- 1) Jamiolkowski, M.: The leaning tower of Pisa: end of an Odyssey, *Terzhaghi Oration, Proc. 15<sup>th</sup> ICSMGE, Vol.5*, pp.2979-2996, 2001.
- 2) Burland, J. B., Jamiolrowski, M. and Viggiani, C.: The stabilization of the leaning tower of Pisa, *Soils and Foundations, Vol.43*, *No.5*, pp.63-80, 2003.
- 3) Shogaki, T, and Sakamoto, R.: The applicability of a small diameter sampler with a two-chambered hydraulic piston for Japanese clay deposits, *Soils and Foundations, Vol.44*, *No.1*, pp.113-124, 2004.
- 4) 正垣・蛭﨑・菅野・中野・北田: ピサの斜塔下の粘性土の地盤 工学的性質, *土と基礎*, Vol.53, No.3,pp.26-28,2005.
- 5) Shogaki, T. and Nochikawa, Y.: Triaxial strength properties of natural deposits at  $K_0$  consolidation state using a precision triaxial apparatus with small size specimens, *Soils and Foundations, Vol. 44, No.2*, pp.41-52. 2004.
- 6) Shogaki, T., Nochikawa, Y., Jeong, H., Suwa, S. and Kitada, N.; Strength and consolidation properties of Busan new port clays, *Soils and Foundations, Vol. 45, No.2*, pp. 153-169, 2005.
- 7) Bjerrum, L. and Simons, N.E. :Comparison of shear Strength Characteristics of Normally Consolidated Clays, *Proc. ASCE Reseach Conf. On Shear Strength of Coheasive Soils*, pp. 711-726, 1960.

表 - 2 図 - 2の記号凡例

Condition	*	Soil	$\varepsilon_{\rm s}$ ( %/min )	$\sigma^{'}_{a}/\sigma^{'}_{vo}$	Reference
Undisturbed		Pisa	0.05	3 ~ 4	This paper's outher
	×	Pisa	1		
		Pusan new port	0.05	3	Shogaki et al.6)
		Japanese	0.05	3 ~ 4	Shogaki & Nochikawa <sup>5)</sup>
		Bothkennar			
		Kimhae			
Remolded		Pisa	0.05	4 ~	This paper's outher
	/	Pusan new port	1	3	Shogaki et al.6)
	•	Kimhae	1		Shogaki & Nochikawa <sup>5)</sup>
	Δ	Kimhae	0.2	3~4	
		Kimhae	0.05		
	Φ	Kahokugata	1		
	Δ	Kahokugata	0.2		
		Kahokugata	0.05		
	$\Phi$	Mitol	0.05		
		Ariake	?	1	Shibuya et al.
		Drammen			
		Louiseville			
		Bothkennar			
	<b>•</b>	Pusan			

\*:Symbol

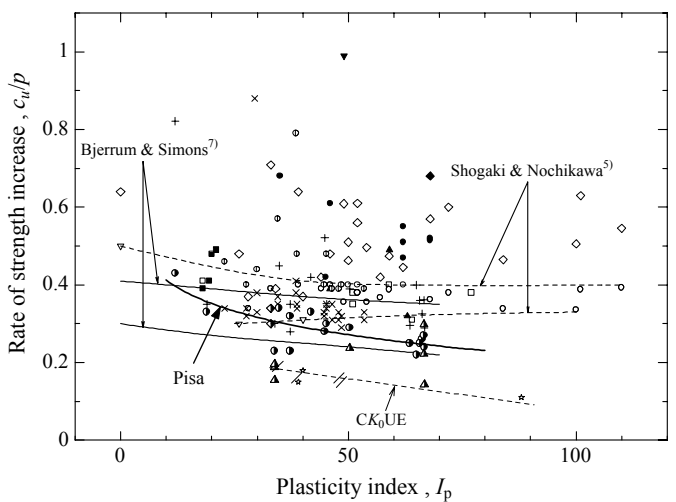


図 - 3  $I_p$ と  $c_u/p$  の関係

表 - 3 図 - 3の記号凡例

*	Soil	Reference	
+	Pisa (1σ' <sub>vo</sub> )	This paper's outher	
•	Pisa (NC)		
Δ	Pisa (CK <sub>0</sub> UE)		
$\oplus$	Pusan new port $(1\sigma'_{vo})$	Shogaki et al. <sup>6)</sup>	
×	Pusan new port (NC)		
/	Pusan new port ( $CK_0UE$ )		
	Japanese	Tsuchida et al.	
	Japanese (1σ' <sub>vo</sub> )	Shogaki & Nochikawa <sup>5)</sup> Shibuya et al.	
	Japanese (NC)		
	Bothkennar (NC)		
	Kimhae (NC)		
	Japanese (CK <sub>0</sub> UE)		
	Japanese		
	Bangkok		
	Drammen		
	Louiseville		
	Bothkennar		
<b>•</b>	Pusan		

<sup>\*:</sup>Symbol